

世界の情報通信を支える “縁の下の力持ち”光通信

第3回 3M 技術

中沢 正隆

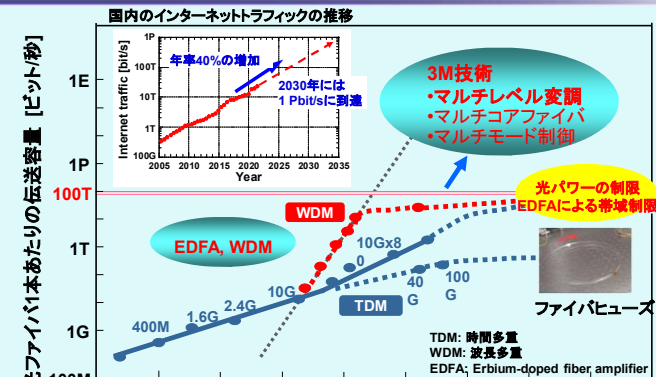
東北大学 電気通信研究機構

〒980-8577 仙台市青葉区片平2-1-1



1

光通信インフラの飛躍的な高度化(3M技術)の重要性



第1回
光通信の仕組
と特徴

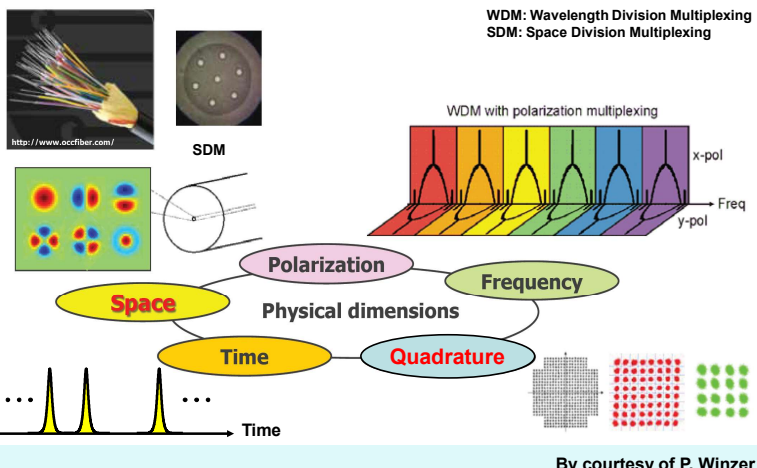
第2回
EDFAとWDM
光ソリトン伝送

第3回
3M技術
光ソリトン伝送

第4回
5G/6Gへの展開

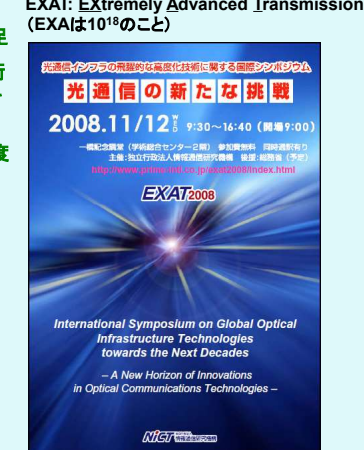
2

情報を載せられる物理事象



光通信インフラの飛躍的な高度化に関する研究会 (2008)

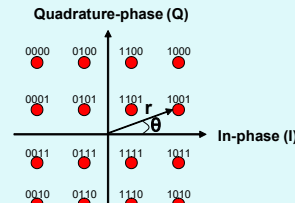
- ・現状の光通信における容量限界を打破するための技術を検討するために、2008年1月に発足
- ・20名以上の産学官の研究者の間で、現状技術の限界や萌芽技術の把握、今後の技術課題を検討
- ・2008年11月に「光通信インフラの飛躍的な高度化技術に関する国際シンポジウム (EXAT2008)」を開催



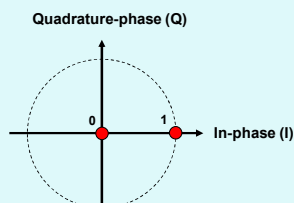
1つ目の“M”:多値変調

Quadrature Amplitude Modulation (QAM):

- Two carriers with the same frequency are amplitude-modulated independently.
- The phases of the two carriers are shifted 90 deg. from each other.
- 2^N QAM processes N bits in a single channel, so it has N times the spectral efficiency of OOK.

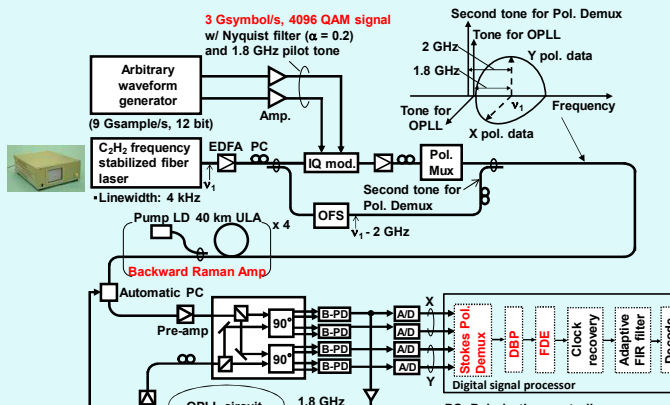


Constellation map for 16 (= 2^4) QAM



5

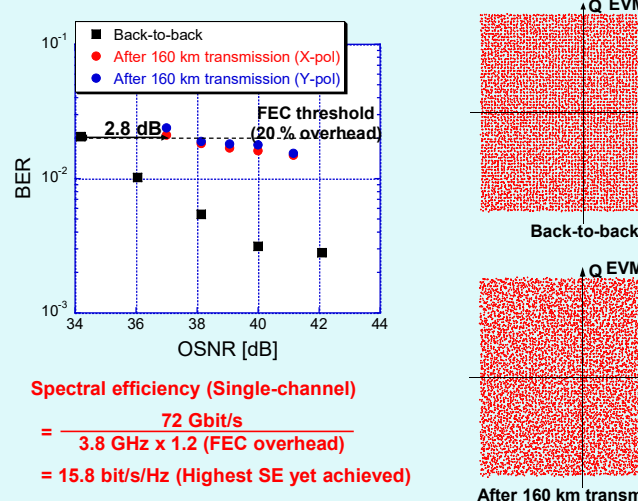
偏波多重, 3 Gsymbol/s, 4096 QAM (72 Gbit/s) コヒーレント光伝送システム



PC: Polarization controller
DBM: Double balanced mixer
B-PD: Balanced photo-detector
BPF: Band pass filter
LPF: Low pass filter
OPLL : Optical phase-locked loop

6

72 Gbit/s, 4096 QAM伝送の実験結果



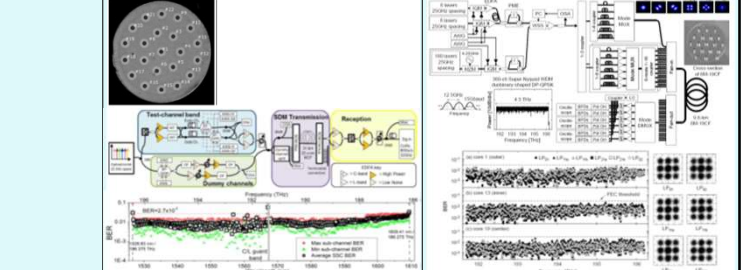
7

2つ目の“M”: マルチコアファイバー

# of cores	19	37	36 (3 modes/core)
Core pitch	39.0 μm (Inner) 37.6 μm (Outer)	29.1 μm	34 μm
Cladding diameter	220 μm	248 μm	306 μm
Loss	0.285 dB/km	0.241~0.291 dB/km	0.242~0.308 dB/km
Aeff	85 μm²	80.0~81.4 μm²	74~77 μm² ($L P_{01}$)
Crosstalk	-57 dB/km	-50 dB/km	-39 dB/km
Reference	J. Sakaguchi et al. (NICT, Furukawa, Optoquest, OFS), ECOC2013, Th.1.C.6.	Y. Sasaki et al. (Fujikura, NTT, DTU), OFC2017, Th1H.2.	J. Sakaguchi et al. (NICT, Sumitomo, Optoquest), OFC2015, Th5C.2.

8

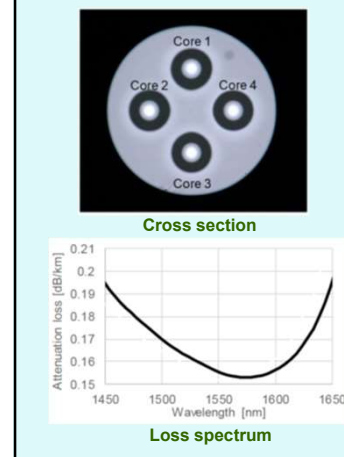
マルチコアファイバを用いた空間多重伝送実験



Total Bit rate	2.15 Pbit/s (294 Gbit/s PDM-64QAM x 399 WDM x 22 core)	2.05 Pbit/s (50 Gbit/s PDM-QPSK x 360 WDM x 19 core x 6 mode)
Distance	31 km	9.8 km
MCF coupling	Laser inscribed 3D waveguide	Lens-coupled fan in/fan out device
Ref.	B. J. Puttnam et al. (NICT, Sumitomo, RAM Photonics), ECOC2015, Th2.1.	D. Soma et al. (KDDI), ECOC 2015, PD2.2.

9

非結合型低損失4コアファイバ(外形125μm)



Low loss (0.155 dB/km) and low crosstalk (< -60 dB/100 km) were achieved with trench-assisted index profile.

M. Takahashi et al. (Furukawa Electric.), ECOC 2020, Th1A-5. 10

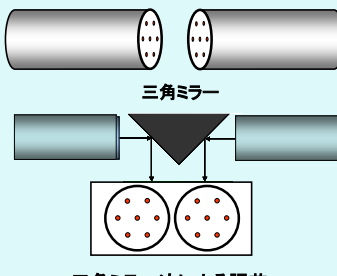
Characteristics	Unit	Value
Cladding diameter	μm	125
Coating diameter	μm	245
Core pitch	μm	43.0
Effective area	μm ²	87.1
Cut-off wavelength (22m)	nm	1539
Dispersion	ps/nm/km	22.6
Dispersion slope	ps/nm ² /km	0.06
Attenuation loss	-	-
Core 1	dB/km	0.155
Core 2	dB/km	0.156
Core 3	dB/km	0.157
Core 4	dB/km	0.155
Inter core crosstalk	-	-
Core 1 – Core 2	dB/100km	-63.8
Core 2 – Core 3	dB/100km	-60.7
Core 3 – Core 4	dB/100km	-62.7
Core 4 – Core 1	dB/100km	-61.8

Characteristics of fabricated MCF at 1550 nm

マルチコア接続技術(1)

マルチコア融着接続技術

コアの調芯技術として、PANDAファイバ
(三角ミラー法、側面観察法)以上に高精度なコアの検知・位置合わせが必要

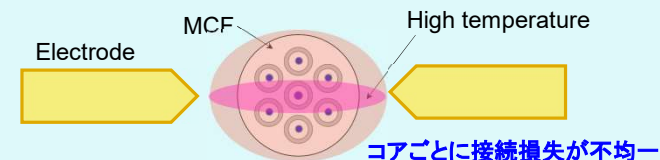


マルチコアファイバ用融着器の一例
吉田ほか、フジクラ技報 120, 12-16 (2011)

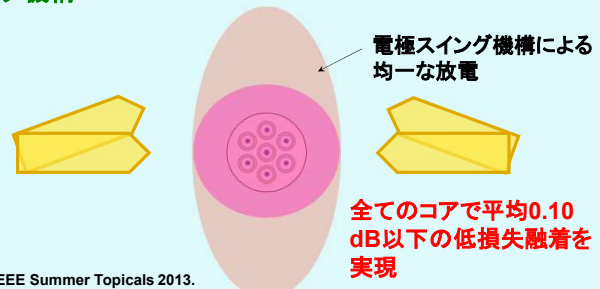
11

マルチコア接続技術(2)

固定電極



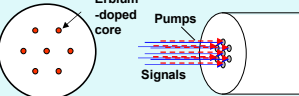
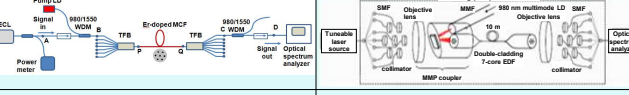
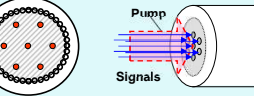
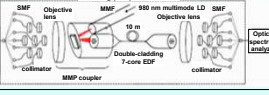
電極スイング機構



Y. Amma et al., IEEE Summer Topicals 2013.

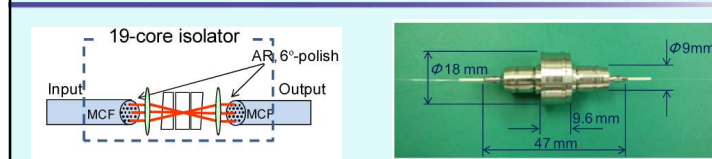
12

マルチコアEDFA

	Individual core pumping	Uniform clad pumping
	 	 
Pump coupling	Tapered fiber bundled coupler	Objective lens coupling
Net gain	23 ~ 27 dB	> 14 dB
Crosstalk	-30.2 ~ -36.6 dB (15 m)	-32.7 ~ -38 dB (10 m)
NF	< 4 dB	< 9 dB
Ref.	K. S. Abedin et al. (OFS), Opt. Express 19 (2011) 16715.	Y. Tsuchida et al. (Furukawa), OFC 2014, Tu2D.1.

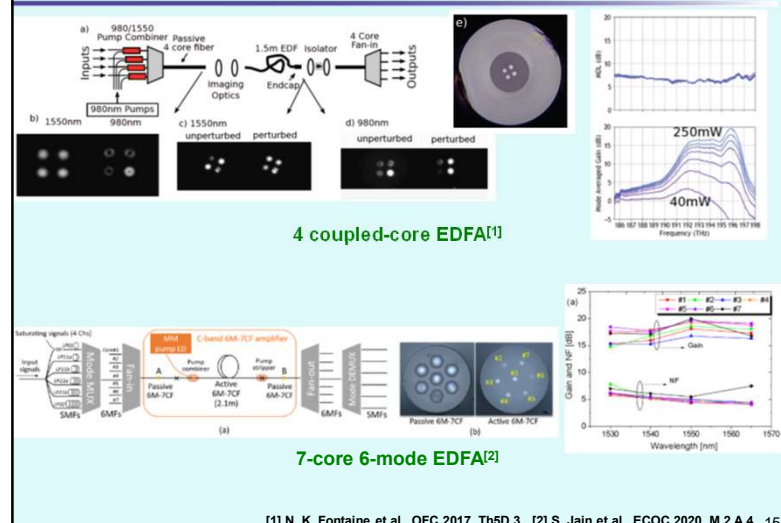
13

マルチコアファイバーアイソレーターとマルチコアEDFAの外観

19-core isolator with free-space optics^[1]NTT
Overview of multi-core EDFA

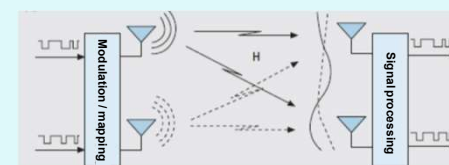
[1] J. Sakaguchi et al. Opt. Express 22, 90-95 (2014). 14

結合型マルチコアEDFAおよびヒューモードマルチコアEDFA



3つ目の“M”: マルチモード制御

- In a wireless telephone system, a signal is transmitted through multiple paths between multiple antennas at the transmitter and receiver.
- By representing the multiple paths as a **channel matrix H**, the transmitted channels are separated via signal processing.



MIMO system

$$\begin{array}{ccc} \text{Tx 1} & \xrightarrow{\text{H11}} & \text{Rx 1} \\ & \xrightarrow{\text{H21}} & \\ \text{Tx 2} & \xrightarrow{\text{H12}} & \text{Rx 2} \\ & \xrightarrow{\text{H22}} & \end{array}$$

$$H = \begin{bmatrix} H_{11} & H_{12} \\ H_{21} & H_{22} \end{bmatrix}$$

Channel matrix H

16

